

中国人肩胛骨的观察

孙 潮

(华山冶金医专解剖教研室)

席 焕 久

(锦州医学院解剖教研室)

关键词 肩胛骨观察

内 容 提 要

对西安地区收集的202副(男115,女87)中国成年人肩胛骨进行了观察。中国人肩胛冈可分五型,肩胛骨脊柱缘的形状与种族和性别有关。

本文所用材料是从西安地区收集的成套骨骼。其性别是按照全身骨骼的特点确定的。

观察主要是根据吴汝康、吴新智(1965)编著的《人体骨骼测量方法》进行的。

观察结果表明:中国人的肩胛冈可分为五型,见图1。

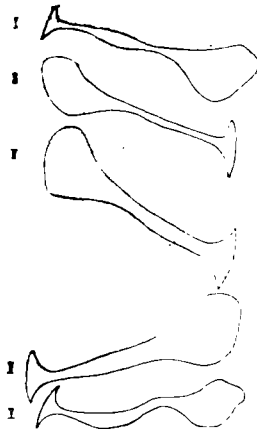


图1 肩胛冈的类型

Types of spinae scapulae

- I 型 梭型; II 型 细杆形; III 型 粗杆形;
IV 型 棒锤形; V 型 横置S形
I Spindle-shaped; II Thin rod-shaped; III Thick rod-shaped; IV Club-shaped; V Crosswise sigmoid

肩胛冈各型出现率的侧差及性差见表 1 及表 2。

表 1 肩胛冈各型出现率的侧差

项目	左 侧			右 侧			P 值
	观察例数	出现例数	出现率及标准误	观察例数	出现例数	出现率及标准误	
I 型	115	65	56.5±4.6	115	65	56.5±4.6	0.05>P>0.01
II 型	115	2	1.7±1.2	115	1	0.9±0.9	
男 III 型	115	16	13.9±3.2	115	5	4.3±1.9	
IV 型	115	24	20.9±3.8	115	26	22.6±3.9	
V 型	115	8	7.0±2.4	115	18	15.7±3.4	
I 型	87	43	49.4±5.4	87	45	51.7±5.4	0.05>P>0.01
II 型	87	17	19.5±4.3	87	8	9.2±3.1	
女 III 型	87	12	13.8±3.7	87	5	5.7±2.5	
IV 型	87	10	11.5±3.4	87	14	16.1±3.9	
V 型	87	5	5.7±2.5	87	15	17.2±4.1	

2 肩胛冈各型的出现率及其性差

项目	男			女			P 值
	观察例数	出现例数	出现率及标准误	观察例数	出现例数	出现率及标准误	
I 型	230	130	56.5±1.3	174	88	50.6±3.8	P>0.05
II 型	230	3	1.3±0.8	174	25	14.4±2.7	P<0.01
III 型	230	21	9.1±1.9	174	17	9.8±2.3	P>0.05
IV 型	230	50	21.7±2.7	174	24	13.8±2.6	0.05>P>0.01
V 型	230	26	11.3±2.1	174	20	11.5±2.4	P>0.05

肩胛骨脊柱缘(冈下部分)的形状可分为凸、直、凹三型。各型出现率的侧差及性差见表 3 及表 4。

表 3 肩胛骨脊柱缘各型出现率的侧差

项目	左 侧			右 侧			P 值
	观察例数	出现例数	出现率及标准误	观察例数	出现例数	出现率及标准误	
凸型	115	70	60.9±4.6	115	78	67.8±4.4	P>0.05
男 直型	115	37	32.2±4.4	115	26	22.6±3.9	P>0.05
凹型	115	8	7.0±2.4	115	11	9.6±2.7	P>0.05
凸型	87	39	44.8±5.3	87	52	59.8±5.3	0.05>P>0.01
女 直型	87	44	50.6±5.4	87	29	33.3±5.1	P>0.05
凹型	87	4	4.6±6.7	87	6	6.9±2.7	P>0.05

肩胛骨脊柱缘各型显波及无波出现率的性差见表 5。

表 4 肩胛骨脊柱缘各型的出现率及其性差

项目	男			女			P 值
	观察例数	出现例数	出现率及标准误	观察例数	出现例数	出现率及标准误	
凸型	230	148	64.3±3.2	174	91	52.3±3.8	$P>0.05$
直型	230	63	27.4±2.9	174	73	42.0±3.7	$0.05>P>0.01$
凹型	230	19	8.3±1.8	174	10	5.7±1.8	$P>0.05$

表 5 肩胛骨脊柱缘各型显波及无波的出现率及其性差

项目	男			女			P 值
	观察例数	出现例数	出现率及标准误	观察例数	出现例数	出现率及标准误	
凸而显波	230	106	46.1±3.3	174	38	21.8±3.1	$P<0.01$
凸而无波	230	42	18.3±2.6	174	53	30.5±3.5	$P<0.01$
直而显波	230	28	12.2±2.2	174	14	8.0±2.1	$P<0.01$
直而无波	230	35	15.2±2.4	174	59	33.9±3.6	$P<0.01$

腋缘也可分为凸、直、凹三型,各型出现率的侧差及性差均无显著性。

肩胛骨上缘的轮廓可分为水平(与喙突几成直角)、微倾(与喙突相交成 $55-80^\circ$ 角)、倾斜(与喙突相交成近 45° 角)、方形、半月形、波形等六种(吴汝康等,1965),肩胛骨上缘各种形状出现率的侧差及性差均无显著性。

肩胛上切迹一般可见五种状况,即无、弱、中、几乎成孔、成孔。各形状出现率的侧差无显著性,而其性差有显著性($0.05>P>0.01$),见表6。

表 6 肩胛上切迹各种形状出现率及其性差

项目	男			女			P 值
	观察例数	出现例数	出现率及标准误	观察例数	出现例数	出现率及标准误	
无	230	33	14.3±2.3	174	37	21.3±3.1	$0.05>P>0.01$
弱	230	89	38.7±3.2	174	65	37.4±3.7	
中	230	82	35.7±3.2	174	66	37.9±3.7	
几乎成孔	230	26	11.3±2.1	174	6	3.4±1.4	
成孔	232	2	0.9±0.6	174	0	0	

肩胛骨第四缘(由腋缘下端弯曲而成)、第五缘(由脊柱缘冈上部弯曲而成)(吴汝康等,1965)、第六缘(即冈下部分明显地弯折所成)(黎屏周,1982)的出现率的侧差无显著性,其性差也无显著性。

圆肌结节一般可分为弱、中、显三型。各型出现率的侧差无显著性($P>0.05$),而弱

型及显型出现率的性差有高度显著性 ($P < 0.01$), 见表 7。

表 7 肩胛骨圆肌结节弱、中、显的出现率及其性差

项目	男			女			P 值
	观察例数	出现例数	出现率及标准误	观察例数	出现例数	出现率及标准误	
弱	230	48	20.9±2.7	174	86	49.4±3.8	$P < 0.01$
中	230	70	30.4±3.0	174	63	36.2±3.6	$P > 0.05$
显	230	112	48.7±3.3	174	25	14.4±2.7	$P < 0.01$

与国人材料(江西南昌地区)(黎屏周, 1982)比较, 经统计学处理, 差别无显著性 ($P > 0.05$)。

与国外材料(近藤盈, 1937)比较, 中国人的凸型出现率高于苏黎世人, 而直型及凹型均低于苏黎世人, 差别有显著性 ($0.05 > P > 0.01$)。中国人的凸型及直型的出现率均高于朝鲜人、日本人、古埃及人和近代白人, 而凹型的出现率则明显低于以上几个人群的, 差别有高度显著性 ($P < 0.01$)。

看来, 肩胛骨脊柱缘的形状与种族和性别有关, 和张岩(1954)提出的脊柱缘形状与种族、性别无关的结论不一致。

(1985年1月30日收稿)

参 考 文 献

- 吴汝康、吴新智, 1965。人体骨骼测量方法。科学出版社。
 吴汝康、吴新智、张振标, 1984。人体测量方法。科学出版社。
 张 岩, 1954。人体系统解剖学。天津人体解剖学发行所。
 黎屏周, 1982。中国人肩胛骨的人类学特征(一)。中国解剖学会 1982 年学术会议论文摘要汇编, 第五卷增刊(1)下, 120。
 近藤盈, 1937。朝鲜人肩胛骨的研究。解剖学杂志, 10: 438—472。

OBSERVATION ON THE CHINESE SCAPULAE

Sun Chao

(Department of Anatomy, Baotou Medical College)

Xi Huanjiu

(Department of Anatomy, Jinzhou Medical College)

Key words Scapula observation

Abstract

Observation on 404 dry scapulae of Chinese adults (male 115, female 87) from Xian area was carried out to investigate the shape of the spinae and margins of the scapulae.

It was found in this study that the Chinese spinae scapulae can be divided into five types. There are racial and sexual differences in the shape of the marginis vertebralis.